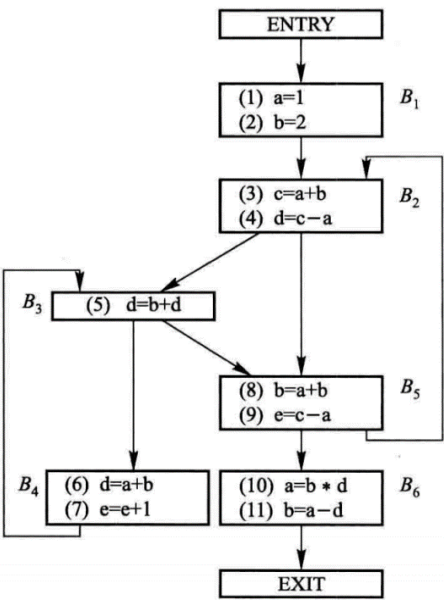


9.3 对给出的流图，计算：

(b) 为可用表达式分析，计算每个块的 e_gen, e_kill, IN, OUT 集合。



解： 参考课本 286 页的定义以及 287 页的算法：

(先算 IN 再算 OUT)

$OUT[ENTRY] = \emptyset$

$IN[B] = \cap_{P \text{ 是 } B \text{ 的前驱}} OUT[P]$

$OUT[B] = e_gen[B] \cup (IN[B] - e_kill[B])$

列表如下，令初始时除了 $ENTRY$ 外其余块 $OUT = U$ ，从第一轮开始：

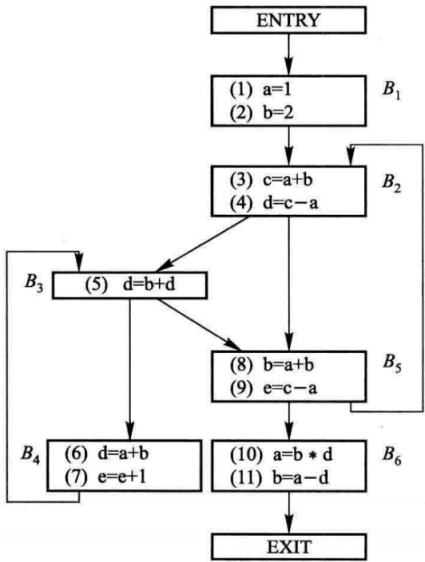
$U = \{1, 2, a + b, c - a, b + d, e + 1, b * d, a - d\}$

块	e_gen	e_kill	IN^1	OUT^1	IN^2	OUT^2
B_1	$\{1,2\}$	$a + b, c - a, b + d, b * d, a - d$	\emptyset	$1, 2$	\emptyset	$1, 2$
B_2	$\{a + b, c - a\}$	$b + d, b * d, a - d$	$1, 2$	$1, 2, a + b, c - a$	$1, 2$	$1, 2, a + b, c - a$
B_3	\emptyset	$b + d, b * d, a - d$	$1, 2, a + b, c - a$	$1, 2, a + b, c - a$	$1, 2, a + b, c - a$	$1, 2, a + b, c - a$
B_4	$\{a + b\}$	$b + d, e + 1, b * d, a - d$	$1, 2, a + b, c - a$	$1, 2, a + b, c - a$	$1, 2, a + b, c - a$	$1, 2, a + b, c - a$
B_5	$\{c - a\}$	$a + b, b + d, e + 1, b * d$	$1, 2, a + b, c - a$	$1, 2, c - a$	$1, 2, a + b, c - a$	$1, 2, c - a$
B_6	$\{a - d\}$	$a + b, c - a, b + d, b * d$	$1, 2, c - a$	$1, 2, a - d$	$1, 2, c - a$	$1, 2, a - d$

至此迭代算法已经在一轮中没有改变，得到了最终的结果，如上表所示。

9.15 对于本题中的流图，回答下列问题：

- (a) 计算支配关系。
- (b) 找出一种深度优先排序。
- (c) 对上一小问的结果，标明前进边、后撤边和交叉边。
- (d) 该流图是否可归约。
- (e) 计算该流图的深度。
- (f) 找出该流图的自然循环。

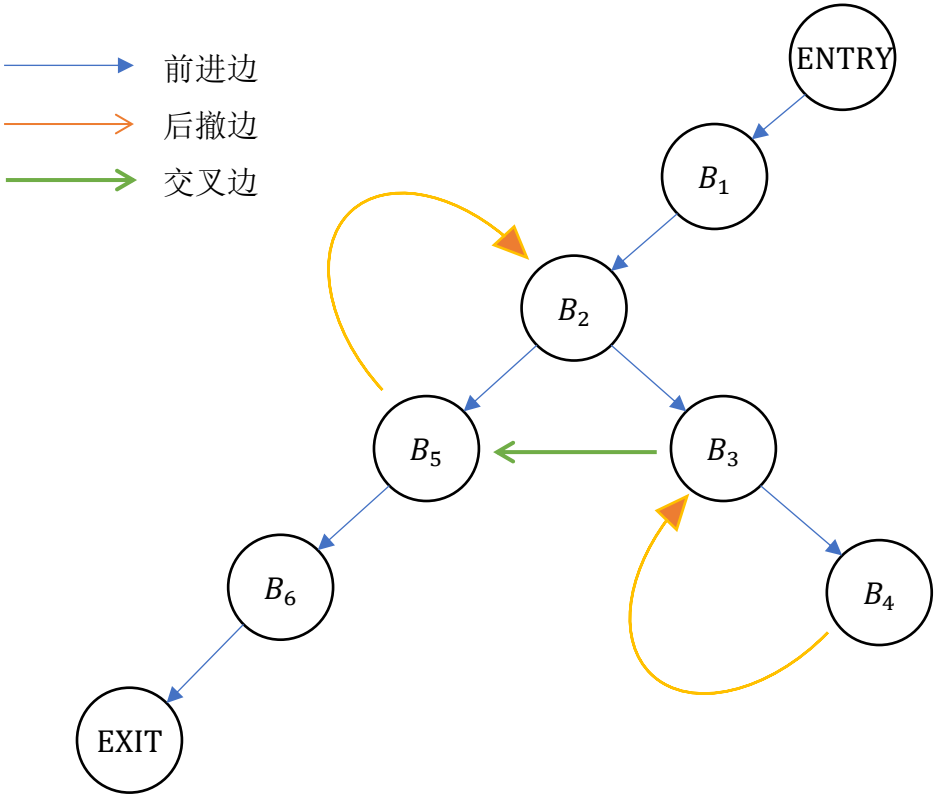


解： 对每一问分析如下

(a) 支配关系如下表所示：记 $U = \{ENTRY \cup B_1 \cup B_2 \cup B_3 \cup B_4 \cup B_5 \cup B_6 \cup EXIT\}$

块	ENTRY	B_1	B_2	B_3	B_4	B_5	B_6	EXIT
支配对象	U	$U - EXIT$	$U - EXIT - B_1$	B_3, B_4	B_4	$B_5, B_6, EXIT$	$B_6, EXIT$	EXIT

(b, c) 作图如下：深度优先系列为 $ENTRY \rightarrow B_1 \rightarrow B_2 \rightarrow B_5 \rightarrow B_6 \rightarrow EXIT \rightarrow B_3 \rightarrow B_4$



(d) 按照可归约性的定义【课本 313 页】，在任何深度的深度优先生成树上后撤边都是回边，因此这个流图是可归约的。

(e) $B_4 \rightarrow B_3 \rightarrow B_5 \rightarrow B_2$ 包含两条后撤边，因此该流图深度为 2

(f) 显然共两个自然循环：

后撤边 $B_5 \rightarrow B_2$ 确定的自然循环： $\{ B_2, B_3, B_4, B_5 \}$

后撤边 $B_4 \rightarrow B_3$ 确定的自然循环： $\{ B_3, B_4 \}$

9.22 请利用代码优化的思想（代码外提和强度削弱等），改写下面 C 语言程序中的循环，得到优化后的 C 语言程序。

```
main(){
    int i, j;
    int r[20][10];

    for(i=0; i<20; i++){
        for(j=0; j<10; j++){
            r[i][j] = 10 * i * j;
        }
    }
}
```

解：优化后代码如下：

```
main(){
    int i, j;
    int r[20][10];

    for(i=0; i<20; i++){
        muli = 10 * i;
        temp = 0;
        for(j=0; j<10; j++){
            r[i][j] = temp;
            temp = temp + muli;
        }
    }
}
```

9.24 某优化编译器对下面程序的局部变量 i 和 j 不分配空间，为什么？

```
main(){
    long i,j;
    i=5;
    j=i*2;
    printf("%d\n",i+j);
}
```

解：一般的编译器在做独立于机器的代码优化时，会进行常量传播、复写传播、死代码删除工作。本题给出的代码中 i, j 都可以进行复写传播、常量传播，完成这些工作后发现程序 2，3，4 行都是死代码。因此这一段程序优化后结果如下：

```
main(){
    printf("%d\n",5+5*2);
}
```

8.3 为下列 C 语句产生 8.2 节目标机器的代码，假定所有的变量都是静态的，并假定有 3

- (a) $x = a[i] + 1$
- (b) $a[i] = b[c[i]]$
- (c) $a[i] = a[i] + b[j]$

个寄存器可用于保存计算结果。

解：记可用的三个寄存器为 R_1, R_2, R_3 ，以下为汇编表示的机器代码：

```
(a) x= a[i] + 1
    LODE R1,i
    MUL  R1,R1,8
    LODE R2,a[R1]
    ADD  R2,R2,1
    STORE x,R2
(b) a[i] = b[c[i]]
    LODE R1,i
    MUL  R1,R1,8
    LODE R2,c[R1]
    MUL  R2,R2,8
    LODE R3,b[R2]
    STORE a[R1],R3
(c) a[i] = a[i] + b[j]
    LODE R1,i
    MUL  R1,R1,8
    LODE R2,j
    MUL  R2,R2,8
    LODE R1,a[R1]
    LODE R2,a[R2]
    ADD  R3,R1,R2
    LODE R1,i
    MUL  R1,R1,8
    STORE a[R1],R3
```

□参考slides35-48页的例子，(a)为下面的三地址码序列生成对应的目标代码；(b)假设只有两个寄存器R0和R1，基本块出口处只有f活跃，请分析每一条三地址语句翻译后，寄存器描述符和变量的地址描述符的变化情况；(3) 计算目标代码的总代价，并请尽可能地优化以减少代价。

t1 = a + b
t2 = t1 - c
t3 = d + e
t3 = t2 * t3
t4 = t1 + t3
t5 = t3 - e
f = t4 * t5

解：生成的目标代码如下：

```
1  //t1=a+b
2  LOD  R0,a
3  LOD  R1,b
4  ADD  R0,R0,R1 /*R0:t1 R1:b*/
5  //t2=t1-c
6  LOD  R1,c
7  SUB  R1,R0,R1 /*R0:t1 R1:t2*/
8  //t3=d+e
9  STORE t1,R0 /*存储 t1,第五行还需要 t1*/
10 LOD  R0,d
11 STORE t2,R1 /*存储 t2, 第四行还需要 t2*/
12 LOD  R1,e
13 ADD  R0,R0,R1 /*R0:t3 R1:e*/
14 //t3 = t2*t3 = t2*(d+e) = t2*R0
15 LOD  R1,t2
16 MUL  R0,R0,R1 /*R0:t3 R1:t2*/
17      /*t3 在此后仅引用一次，无需 STORE，下一条语句直接从寄存器调用*/
18 //t4 = t1+t3
19 LOD  R1,t1
20 ADD  R1,R0,R1 /*R0:t3 R1:t4*/
21 //t5 = t3-e
22 STORE t4,R1 /*存储 t4, 第七行还要用到*/
23 LOD  R1,e
24 SUB  R1,R0,R1
25      /*t3 为临时变量，后续没有使用，无需 STORE*/
26 //f = t4*t5
27 LOD  R0,t4
28 MUL  R0,R0,R1
29 STORE f,R0
30      /*仅 f 在出口处活跃*/
```

按行号写出每一条三地址语句调用后寄存器与内存中的数据变化：

行号	R_0	R_1	a	b	c	d	e	f	e	t_2	t_3	t_4	t_5
1	t_1	b	a	b, R_1	c	d	e		R_0				
2	t_1	t_2	a	b	c	d	e		R_0	R_1			
3	t_3	e	a	b	c	d	e, R_1		t_1	t_2	R_0		
4	t_3	t_2	a	b	c	d	e		t_1	t_2	R_0		
5	t_3	t_4	a	b	c	d	e		t_1	t_2	R_0	R_1	
6	t_3	t_5	a	b	c	d	e		t_1	t_2	R_0	t_4	R_1
7	f	t_5	a	b	c	d	e	f	t_1	t_2		t_4	R_1

上述选择寄存器的策略已经是最优的，目标代码的总代价为 33



指令的代价



中国科学技术大学
University of Science and Technology of China

□在上述简单的目标机器上，指令代价简化为

1 + 指令的源和目的寻址模式(addressing mode)的附加代价

□寄存器寻址模式附加代价为0

□涉及内存位置或者常数的寻址方式代价为1

指令

代价

LD R0, R1

1

寄存器

LD R0, M

2

寄存器+内存

LD R1, *100(R2)

2

寄存器+内存